

琉球大学工学部 山口大学工学部 琉球大学工学部 岡崎工業(株)	正会員 正会員 正会員	有住 康則 浜田 純大 大城 武 川副 静城
--	-------------------	---------------------------------

1. 席論 曲線合成解析は、曲率面木の荷重を受けると曲げモーメントのみならず、ねじれモーメントおよび曲げねじれモーメントが作用し、設計においてはそれらを考慮して構造計算を行なう必要がある。また、曲線合成解析の接合面に配置されたずれ止めには、橋軸および半径方向に水平せん断力が作用し、それらの分布性状を明らかにする必要がある。本論文では、箱桁断面を有する単純支持された曲線合成解析について、静的載荷実験を行なったのでその概要について示し、また、有限帶板法を用い、解析を行なって、実験結果と比較検討し、曲線合成解析の静的挙動について考察を行う。

2. 実験概要 供試体は3体から成っている。MODEL C-1は、曲率半径  $r_1 = 8m$ 、中心角  $\alpha_1 = 30^\circ$ 、 $C-2$ は、 $r_2 = 4m$ 、 $\alpha_2 = 60^\circ$ 、および  $C-3$ は  $r_3 = 8m$ 、 $\alpha_3 = 30^\circ$  であり、各供試体は同ースパン  $l = 418.2cm$  を有している。それぞれの供試体の断面形状を Fig. 1 に示す。支持状態は単純支持とした。支持状態および載荷状態を Fig. 2 に示す。なお、各供試体は、支点上ダイヤフラム( $t = 12mm$ )を有しているが、中間ダイヤフラムは配置されていない。ずれ止めはスタッド(Stud 13×50)を用い、ずれ止めの配置は、 $C-1$ および  $C-2$ がウェブ直上のみに1列26本(計52本)、 $C-3$ は上フランジに4列等間隔に計56本とした。鋼桁の鋼種はSS41であり、コンクリートの圧縮強度は  $G_c = 308kg/cm^2$ 、弹性係数は  $E_c = 2.71 \times 10^5 kg/cm^2$  である。荷重は、Fig. 3 に示すように、スパン中央内側および外側、1/3スパン内側および外側の4つのケースについてウェブ直上に1点集中荷重として載荷した。測定は、たわみ、コンクリートストラテおよび鋼桁のひずみ、橋軸および半径方向のずれについて行った。

### 3. 実験結果、解析結果および考察

実験結果および数値解析結果について示す。なお、数値解析では、

$$E_c = 3.0 \times 10^5 kg/cm^2, E_s = 2.1 \times 10^5 kg/cm^2,$$

$$G_c = 1.3 \times 10^5 kg/cm^2, G_s = 8.1 \times 10^5 kg/cm^2,$$

$$\nu_c = 0.167, \nu_s = 0.3$$
 とした。また、

ずれ止めの剛性は、1本当たり  $K_d = k_r = 50 ton/cm$  とした。Table 1 に中央内側および外側載荷の場合の中央断面下フランジ内側および外側点のたわみの値を示す。内側載荷の場合は内側部分に大きなたわみが生じており、外側載

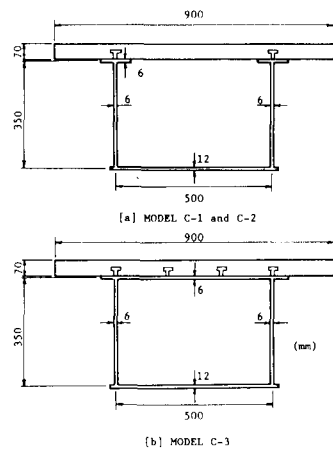


Fig. 1 Tested Curved Composite Girder Sections.

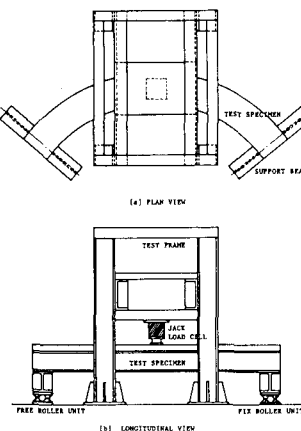


Fig. 2 Testing Arrangement.

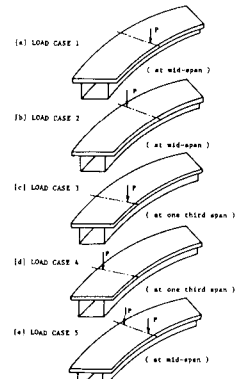


Fig. 3 Loading Cases ( $P = 10 ton$ ).

荷の場合は多少外側のたわみが大きいが、その差は、内側載荷の場合と比較すると小さい。中央内側および外側載荷の場合のスパン中央から30cm離れた断面におけるひずみ分布の一例をMODEL C-1についてFig.4に示す。内側載荷の場合、下フランジ内側で大きひずみが生じており、ねじれによる橋軸方向応力が大きいことを示してある。一方、外側載荷の場合はその影響は小さい。鋼筋ウェブのひずみ分布に注目すると、ウェブは面外変形の影響を受け複雑な挙動を示しており、その傾向は曲率半径が小さくなる場合に顕著に表われた。また、外側載荷より内側載荷の場合にその影響が大きい。橋軸方向のずれ分布の一例をMODEL C-1についてFig.5に示す。図から明らかなように内側載荷の場合の内側ウェブ上のずれは外側ウェブ上のそれと比較して多少大きいが、外側ウェブ上にもずれが生じてある。しかし、外側載荷の場合には外側ウェブ上のみにずれが生じており、内側ウェブ上のずれは極めて小さい。中央内側載荷の場合のMODEL C-1およびC-2の半径方向のずれ分布をFig.6に示す。同図には実験結果のみについて示してある。なお、有限帯板法を用いた解析法では、支点上における半径方向変位および回転角の境界条件が実験と異なるため、実験結果の半径方向のずれ挙動を十分に説明することができなかった。Fig.6から明らかなように、内側および外側ウェブ上に半径方向のずれが生じており、支点上において特に大きい。

#### 4. 有限帶板法によるパラメーター解析

MODEL C-1と同一断面、同一スパンを有する橋の中心角を変化させた場合について数値解析を行った。荷重は中央2点集中荷重である。Fig.7に橋軸方向に作用する力の値および内側と外側ウェブ上での力の比を示す。中心角が大きくなると、外側ウェブ上の力を大きくし、逆に、内側ウェブ上のそれは小さくなる。

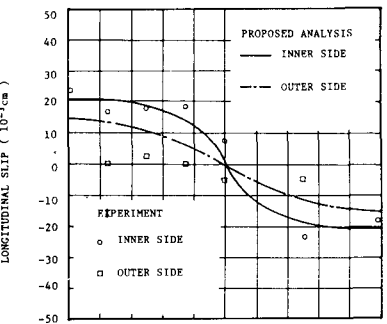
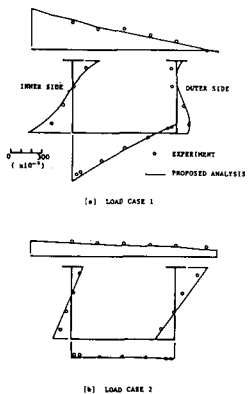
#### 参考文献

- [1] Arizumi, Y., T. Oshiro and S. Hamada : Finite Strip Analysis of Curved Composite Girders with Incomplete Interaction, Computers & Structures, Vol.15, No.6, pp.603-612, 1982.

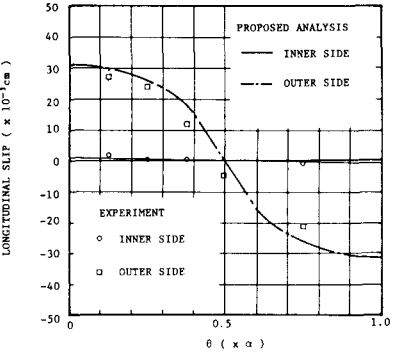
Table 1 Deflections (in mm).

		MODEL C-1		MODEL C-2		MODEL C-3	
		EXPERIMENT	F.S.M.	EXPERIMENT	F.S.M.	EXPERIMENT	F.S.M.
LOAD CASE 1	INNER SIDE	4.479	4.750	9.014	8.263	4.175	4.677
	OUTER SIDE	1.861	1.978	6.574	5.358	1.372	1.635
LOAD CASE 2	INNER SIDE	2.009	1.880	6.508	5.222	1.121	1.521
	OUTER SIDE	3.352	2.969	7.437	5.635	2.311	2.173

Fig. 4 Longitudinal Strain Distributions of MODEL C-1.



(a) LOAD CASE 1



(b) LOAD CASE 2

Fig. 5 Longitudinal Slip Distributions of MODEL C-1.

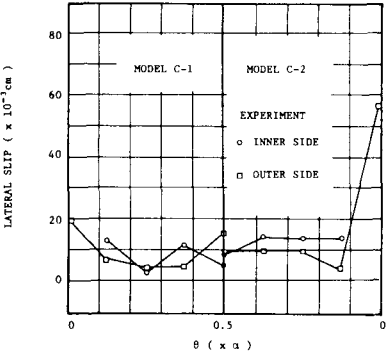


Fig. 6 Lateral Slip Distributions for LOAD CASE 1.

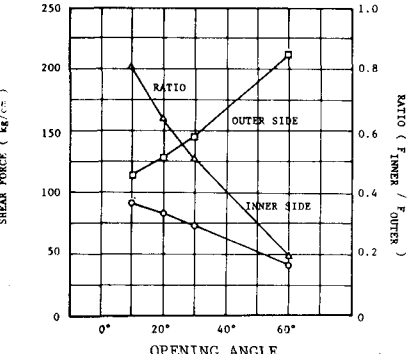


Fig. 7 Shear Force with Respect to Opening Angles.